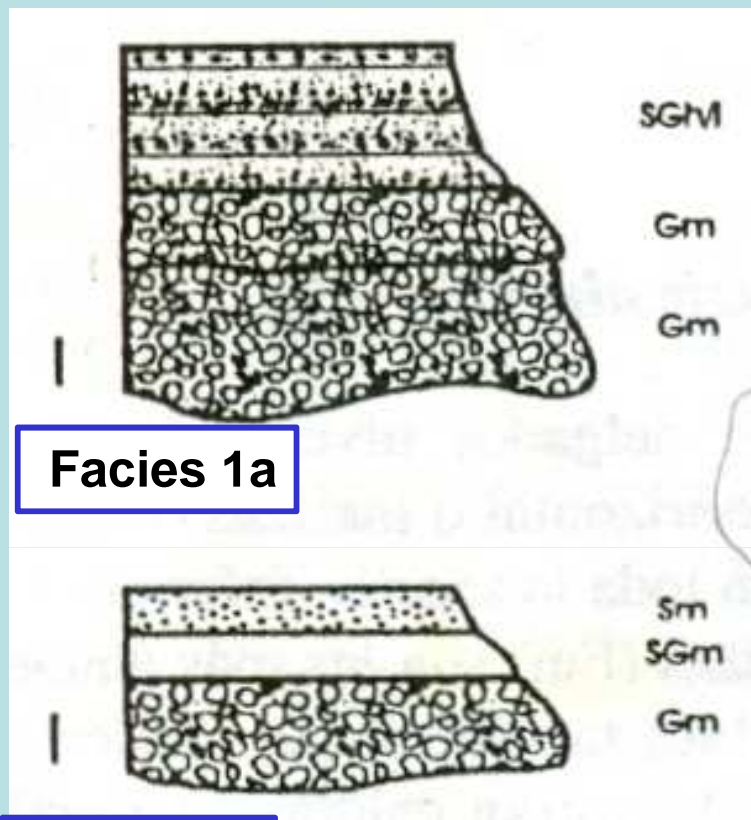


# Resolución TP FLUVIAL

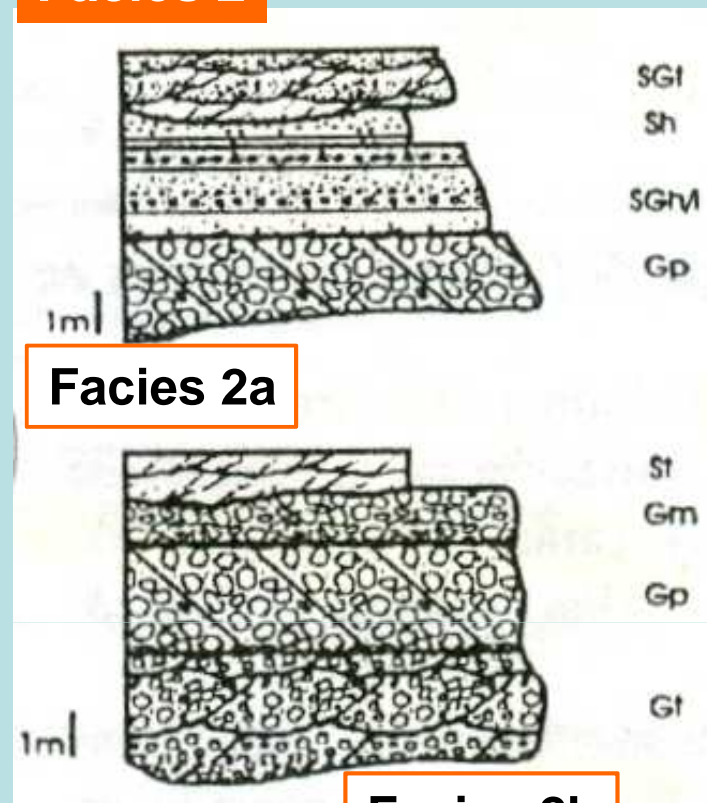
## Facies 1



Facies 1a

Facies 1b

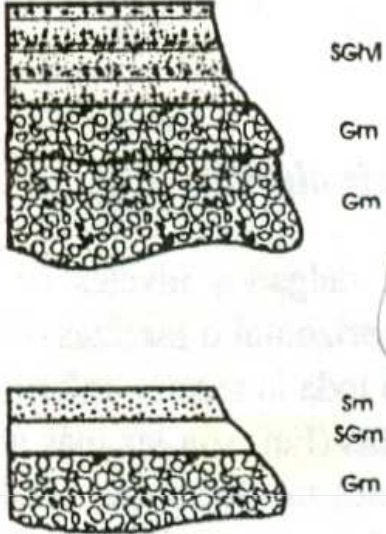
## Facies 2



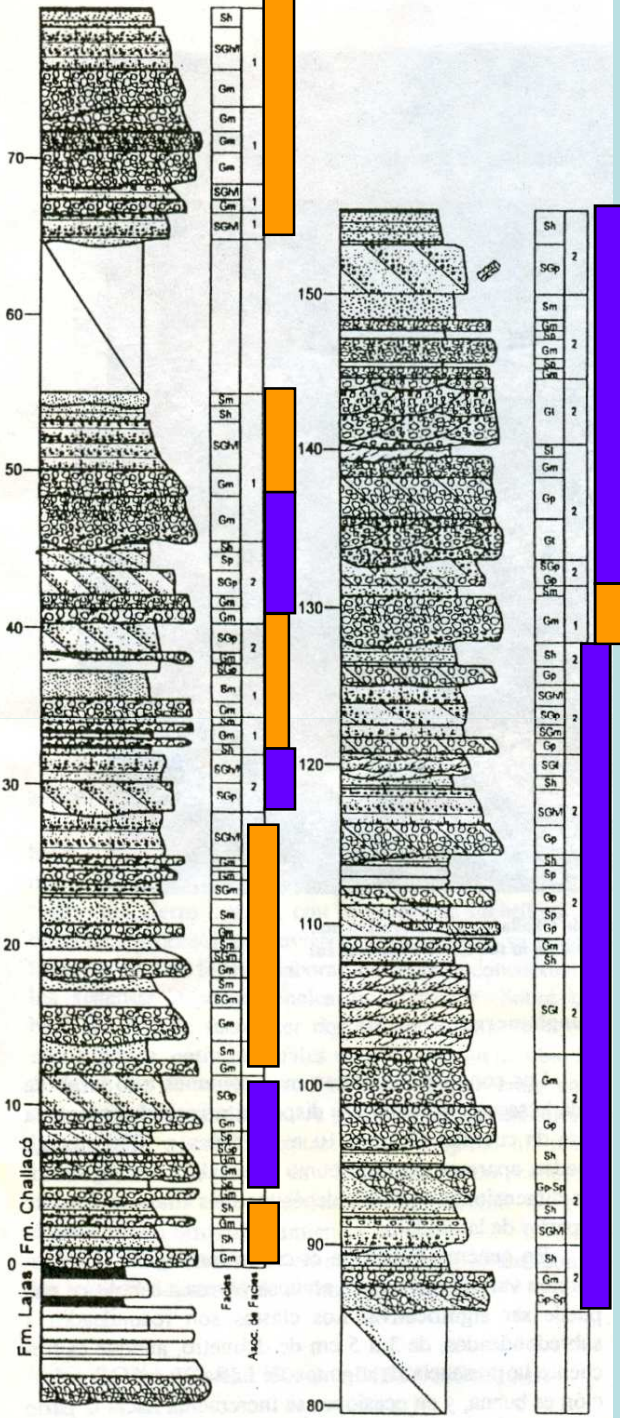
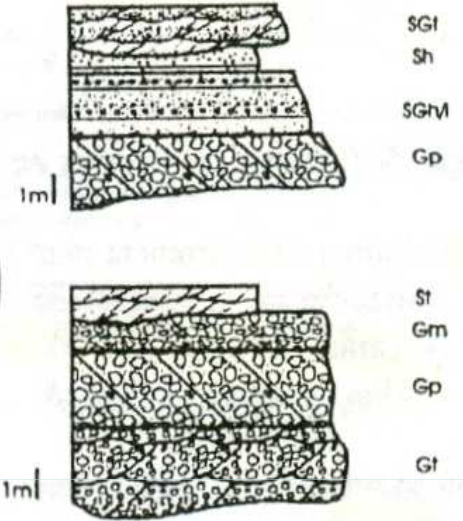
Facies 2a

Facies 2b

1000000

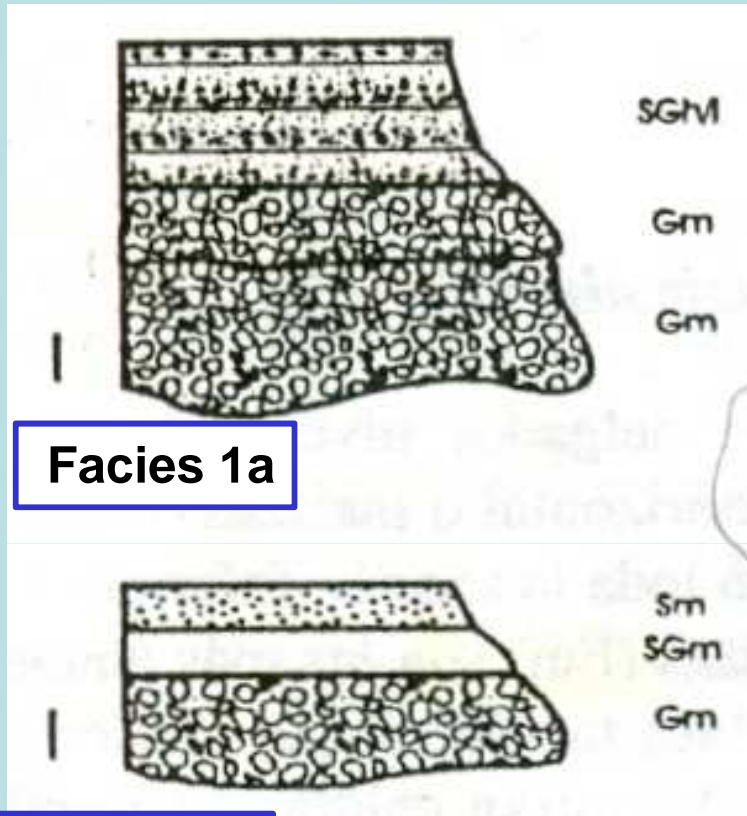


1800





## Facies 1



**Facies 1a**

**Facies 1b**

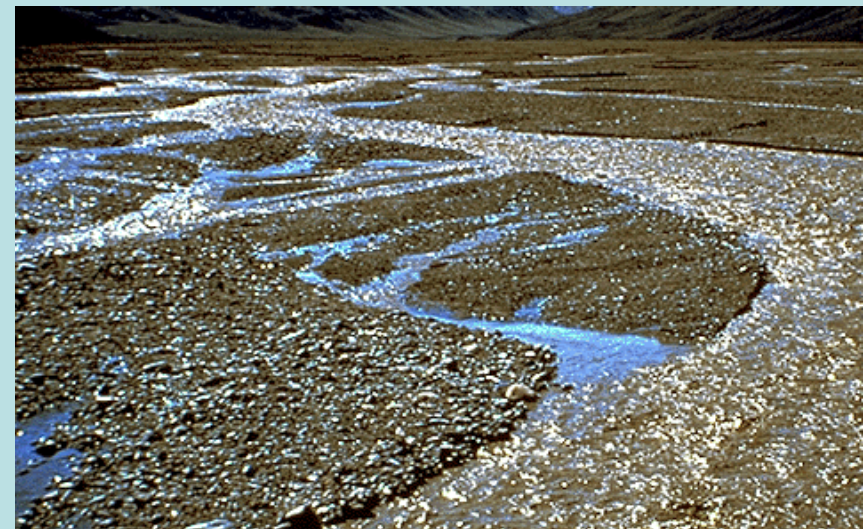
Los depósitos de la Facies 1b indican canales más someros que los depósitos de las Facies 1a

**Facies 1a**  $Gm \geq SGh/l$  en ciclos granodecrecientes

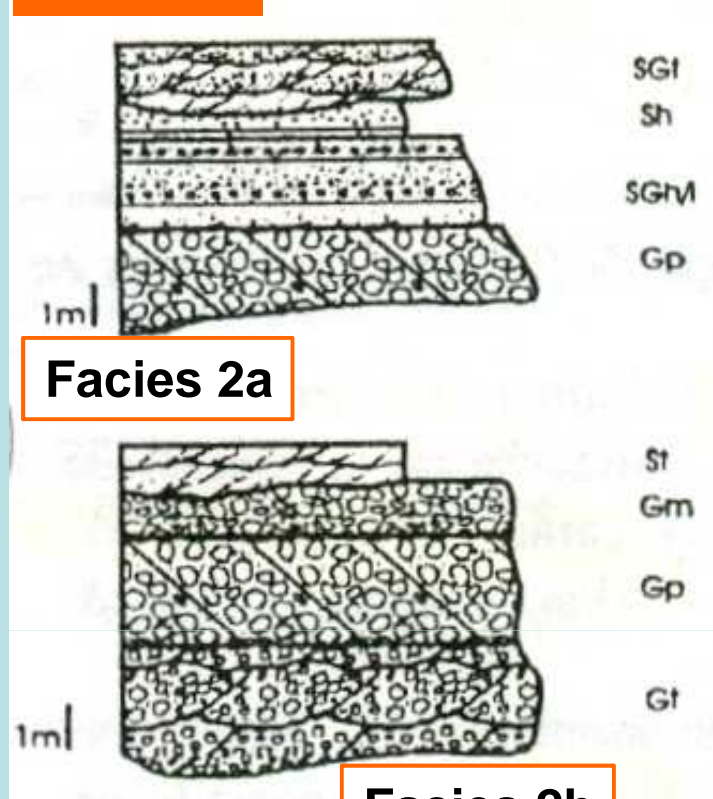
Depósitos de relleno de canal dominados por barras gravosas longitudinales (Gm), con preservación de depósitos de tope de barra (SGh/l)

**Facies 1b**  $Gm \geq SGm, Sh, Sm$  en ciclos granodecrecientes

Depósitos de relleno de canal dominados por barras gravosas longitudinales (Gm, SGm), con preservación de depósitos de tope de barra en la forma de depósitos de flujos hiperconcentrados o rápida sedimentación por infiltración (Sm).



## Facies 2



Facies 2a

Facies 2b



### Facies 2a

$Gp \leq SGh/I, Sh, SGt$  en ciclos granodecrecientes

Depósitos de relleno de canales areno-gravosos, comienzan con un relleno de barras gravosas transversales de crestas rectas (Gp) y depósitos de tope de barras (SGh/I, Sh), y la sucesión finaliza con depósitos de barras transversales areno-gravosas de crestas sinuosas.

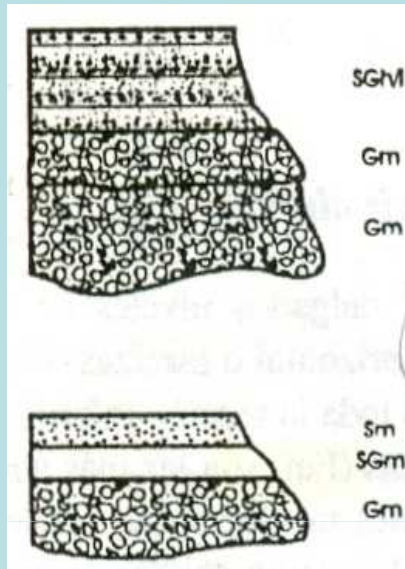
### Facies 2b

$Gt, Gp, Gm \gg St$  en ciclos granodecrecientes

Depósitos de relleno de canal, formados en la base por depósitos de barras gravosas transversales de crestas sinuosas (Gt), que pasan a rectas (Gp), para luego pasar a un relleno de canales más someros caracterizados por barras gravosas longitudinales, cubiertas por megaóndulas sinuosas o barras arenosas transversales de crestas sinuosas.

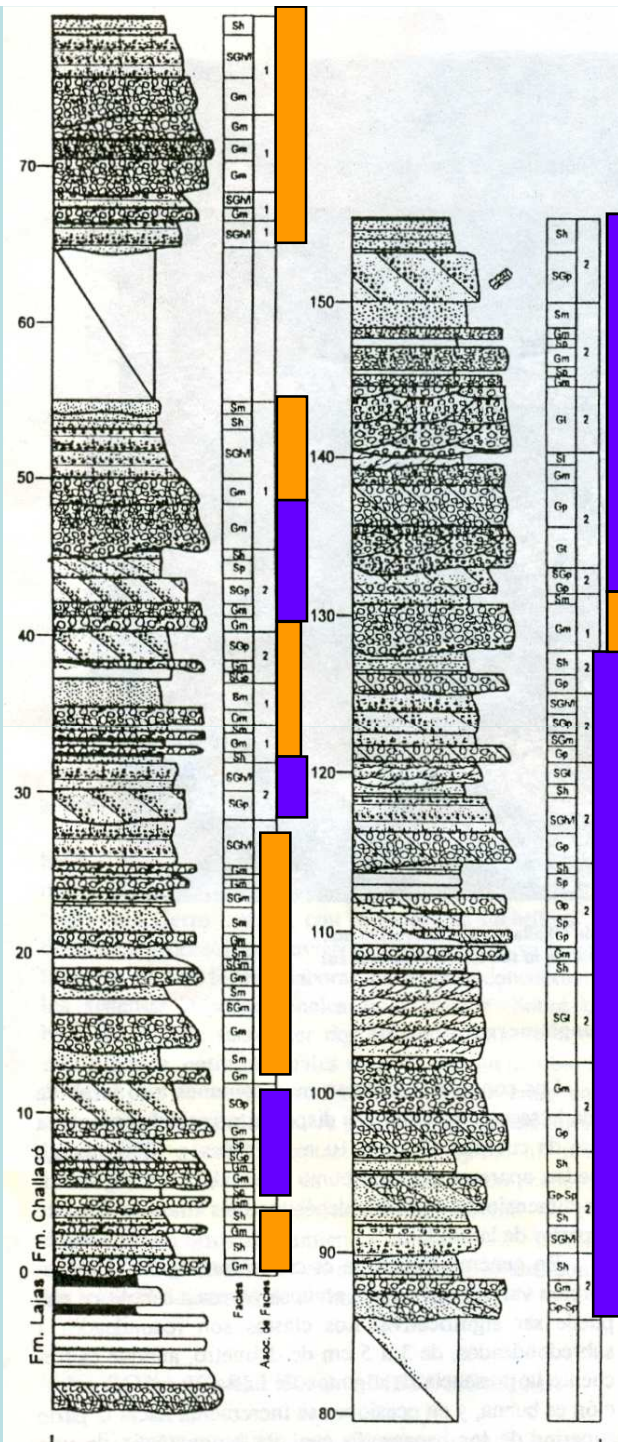


1800

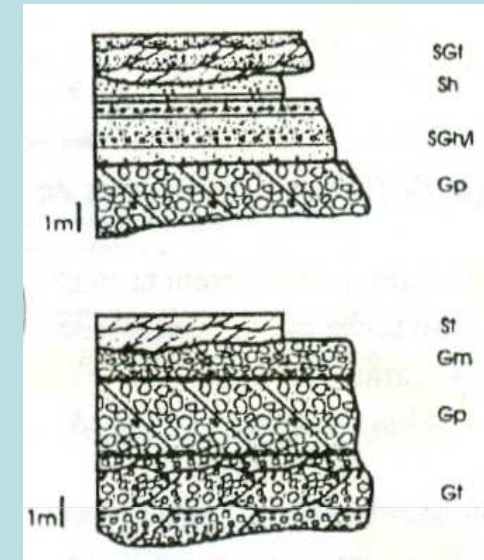


**AF A: Facies 1 + Facies 2**

Sistema fluvial  
entrelazado gravo-  
arenoso, de alta  
energía dominados  
por canales someros

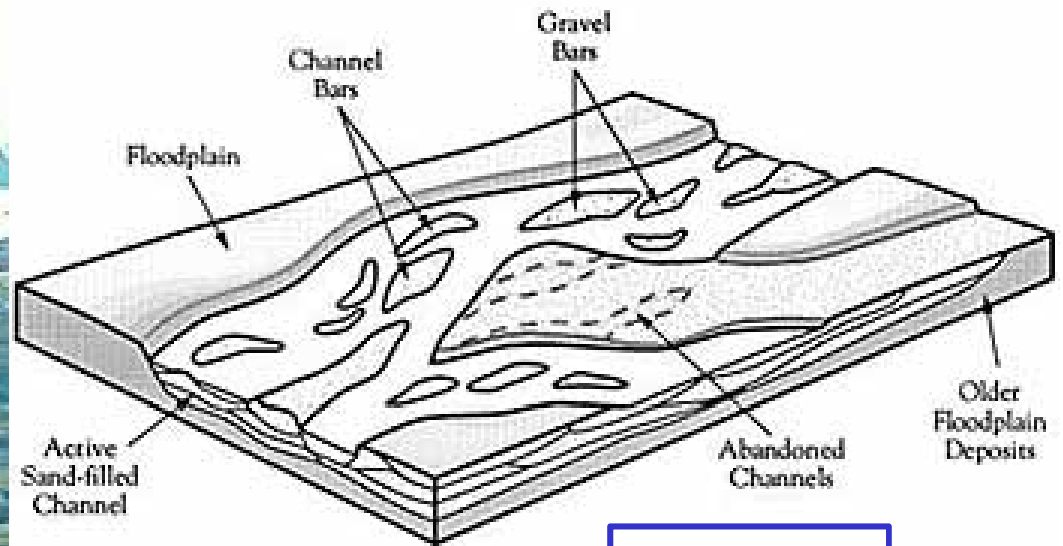


1000000



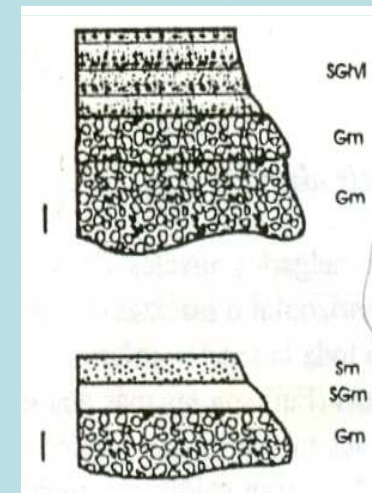
**AF B: Facies 2 >> Facies 1**

Sistema fluvial  
entrelazado gravo-  
arenoso, de alta  
energía, dominados  
por canales más  
profundos que en la  
AF1



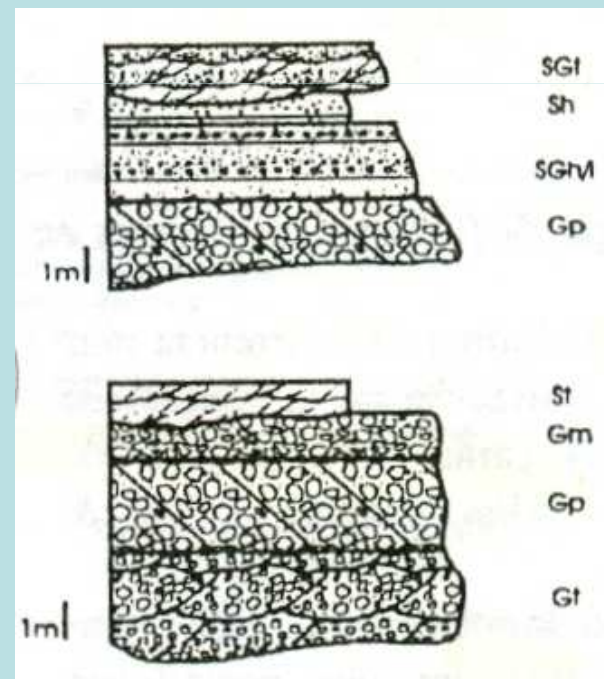
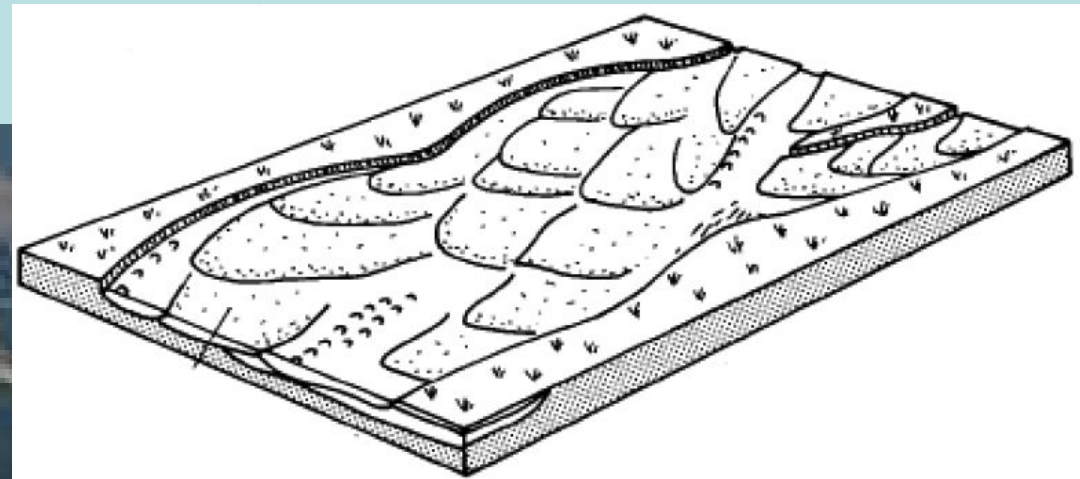
### Facies 1a

Canales de primer orden

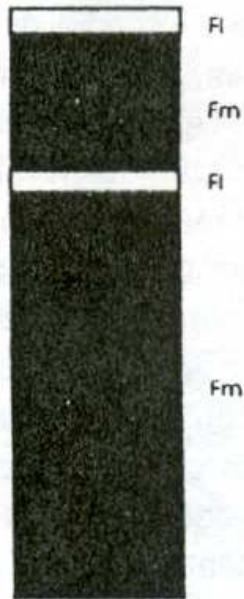


Canales de segundo orden

### Facies 1b



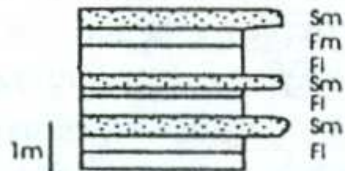




## Facies 1

$Fm \gg FI$

Depósitos de cuenca de inundación (planicie de inundación), dominados por decantación de finos y esporádicos flujos tractivos de muy baja energía por desbordes de los canales

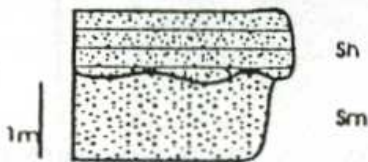


## Facies 2

$Sm + FI$

Depósitos de albardón formados por la alternancia cíclica de depósitos de flujos tractivos de energía variable y debido a decantación de finos.

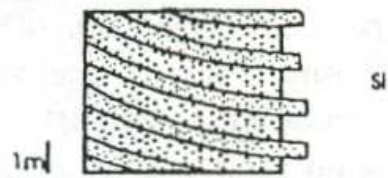
También podrían ser depósitos de desbordamiento en la planicie, no necesariamente asociados al albardón



## Facies 3

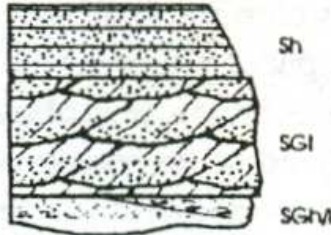
$Sm + Sh$

Depósitos de lóbulos de desbordamiento, formado por sedimentación a partir de flujos tractivos e hiperconcentrados arenosos, determinando ciclos granocrecientes por la progradación de los lóbulos sobre la planicie



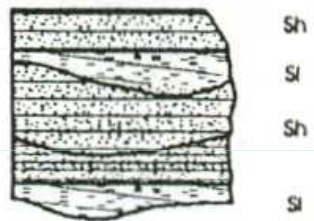
### Facies 4

Sp en bancos con superficies de acreción lateral



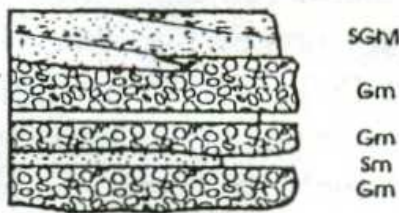
### Facies 5a

SGt > Sh, SGh/l



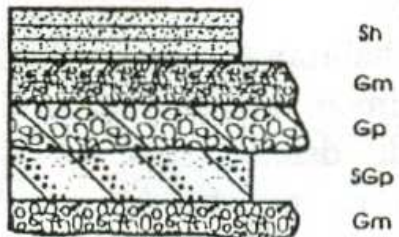
### Facies 5b

Sh >> St



### Facies 6a

Gm >> SGh/l, Sm



### Facies 6b

Gm, Gp, SGp >> Sh

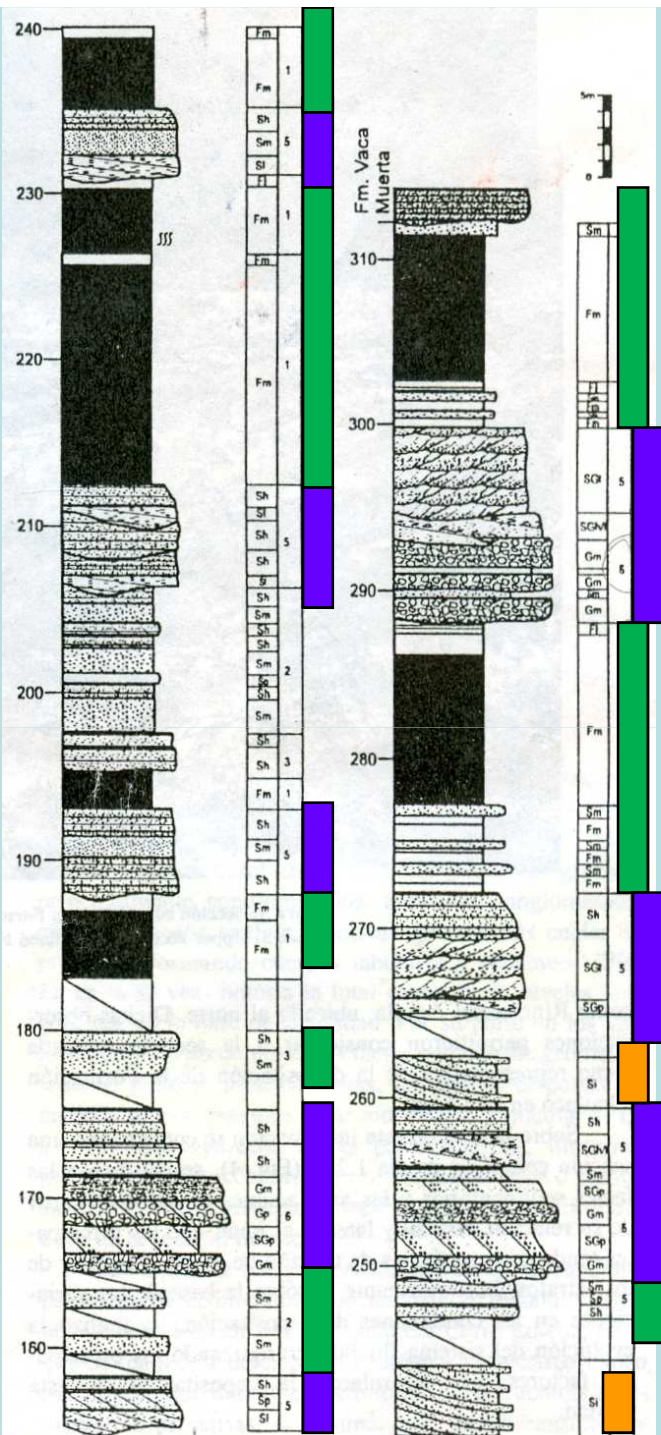
Megaóndulas de crestas rectas formando barras en espolón (point bar) que indican la presencia de canales de alta sinuosidad

Depósitos de relleno de canales arenosos, con depósitos complejos formados por la agradación de barras transversales areno-gravosas y arenosas, junto con sedimentación bajo condiciones de lecho plano de alto régimen de flujo.

En Facies 5b, rellenos semejantes pero de canales más someros

Fajas de canales dominados por barras gravo-arenosas longitudinales, con depósitos de tope de barra (Sm, SGh/l)

Fajas de canales dominados por barras gravosas y gravo-arenosas, longitudinales (Gm) y transversales (Gp, SGp), ocasionalmente acumulación bajo condiciones de lecho plano de alto régimen de flujo (Sh).



**AF A: F1 + F5 + F6 > F2 + F4 + F3**

Sistema fluvial anastomosado, con depósitos de canal y de planicie de inundación.

Los depósitos canalizados con rellenos complejos (Facies 5 y 6) indican canales multiepisódicos, dominados por barras transversales areno-gravosas, barras gravosas longitudinales, junto con megaóndulas de crestas sinuosas y sedimentación en lecho plano.

Se intercanal depósitos de planicie de inundación con depósitos de cuenca de inundación (Facies 1), depósitos de albardón (Facies 2), depósitos de lóbulos de desbordamientos (Facies 3), y depósitos de canales secundarios de alta sinuosidad (Facies 4)



Facies 4



Facies 5 y 6



Facies 1, 2, 3

RELLENO DE  
CANALES

PLANICIE DE  
INUNDACIÓN



